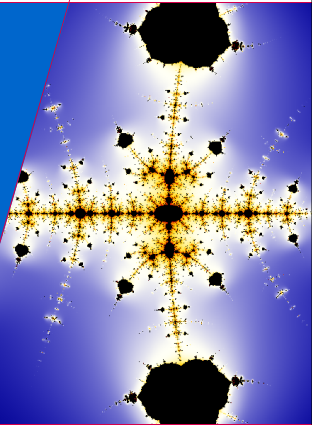


# Het $3n + 1$ vermoeden

Thijs Laarhoven  
t.m.m.laarhoven@student.tue.nl



**TU** / **e**

Technische Universiteit  
**Eindhoven**  
University of Technology

9 juli 2009

## Inleiding en terminologie

## Inleiding en terminologie

### 1. De Collatz-graaf en zijn spectrum

## Inleiding en terminologie

### 1. De Collatz-graaf en zijn spectrum

### 2. Modulaire grafen en De Bruijn grafen

## Inleiding en terminologie

### 1. De Collatz-graaf en zijn spectrum

### 2. Modulaire grafen en De Bruijn grafen

## Conclusie

$$T(n) = \begin{cases} n/2 & \text{als } n \text{ even} \\ (3n + 1)/2 & \text{als } n \text{ oneven} \end{cases}$$

- ▶ (1937, Collatz) "Is er voor alle  $n \geq 1$  een  $k \geq 0$  met  $T^k(n) = 1$ ?"
- ▶ Voorbeelden van minimale  $k$  met  $T^k(n) = 1$ :
  - $T^5(3) = 1$
  - $T^4(5) = 1$
  - $T^{11}(7) = 1$
  - $T^{13}(9) = 1$
  - $T^{10}(11) = 1$
- ▶ Maar ook:
  - $T^{70}(27) = 1$
- ▶ (1985, Erdős) "De wiskunde is nog niet klaar voor zulke problemen"

- ▶  $pn + q$  problemen: Generaliseer 3, 1 naar  $p, q$

$$T_{p,q}(n) = \begin{cases} n/2 & \text{als } n \text{ even} \\ (pn + q)/2 & \text{als } n \text{ oneven} \end{cases}$$

- ▶ Collatz-achtige problemen: Generaliseer 2 naar  $m$  gevallen

$$C_m(n) = \begin{cases} (a_0 n + b_0)/m & n \equiv 0 \pmod{m} \\ (a_1 n + b_1)/m & n \equiv 1 \pmod{m} \\ \vdots & \vdots \\ (a_{m-1} n + b_{m-1})/m & n \equiv m-1 \pmod{m} \end{cases}$$

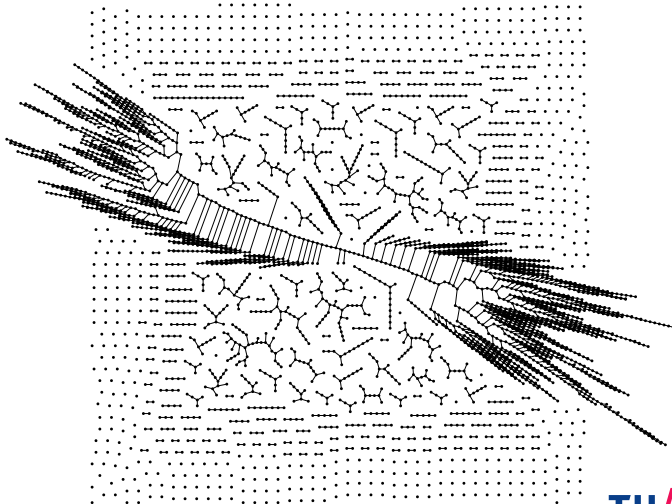
- ▶ Voorbeeld: 3 gevallen

$$C_3(n) = \begin{cases} n/3 & n \equiv 0 \pmod{3} \\ (2n + 1)/3 & n \equiv 1 \pmod{3} \\ (4n + 1)/3 & n \equiv 2 \pmod{3} \end{cases}$$

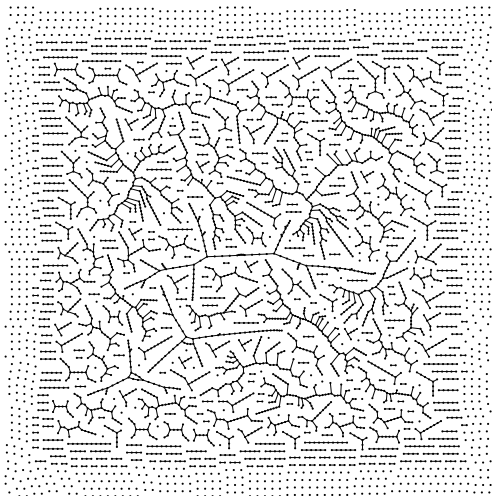
- ▶ Collatz-graaf:  $\mathcal{G}_\infty = (V, E)$  met:
  - $V = \mathbb{N}_+$
  - $E = \{(n, T(n)) \mid n \in \mathbb{N}_+\}$
- ▶ Pad: Reeks  $\{c_0, T(c_0), T^2(c_0), \dots\} = \{c_0, c_1, c_2, \dots\}$
- ▶ Cykel: Pad  $C = \{c_0, c_1, \dots, c_{k-1}\}$  met  $T(c_{k-1}) = c_0$
- ▶ Convergent pad: Reeks  $I_C = \{\dots, c_{-1}, c_0, c_1, \dots, c_{k-1}\}$
- ▶ Divergent pad: Reeks  $I_P = \{\dots, c_{-1}, c_0, c_1, \dots\}$  met  $c_i \rightarrow \infty$
- ▶ Component: Maximaal verbonden verzameling oneindige paden
  - Elk component bevat óf divergente paden, óf één cykel
- ▶ Level  $\ell(n)$ : 'Afstand' tussen  $n$  en vast punt  $n_0$  in een component
  - Als  $n_0 = 1$  dan geldt volgens het pad  $(3, 5, 8, 4, 2, 1)$  dat  $\ell(3) = 5$
  - $\ell(T(n)) = \ell(n) - 1$  als  $n$  niet in een cykel zit
  - $\ell(T(n)) \equiv \ell(n) - 1 \pmod{k}$  als  $n$  in een cykel zit van lengte  $k$
- ▶  $3n + 1$  vermoeden: Enige component is  $\mathbb{N}_+$  met cykel  $(1, 2)$



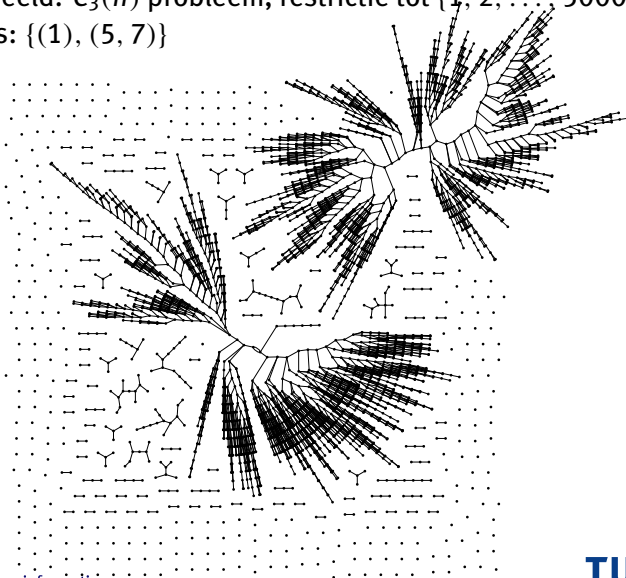
- ▶ Voorbeeld:  $3n + 1$  probleem, restrictie tot  $\{1, 2, \dots, 5000\}$
- ▶ Cykels:  $\{(1, 2)\}$



- ▶ Voorbeeld:  $5n + 1$  probleem, restrictie tot  $\{1, 2, \dots, 5000\}$
- ▶ Cykels:  $\{(1, 3, 8, 4, 2), (13, 33, \dots, 52, 26), (17, 43, \dots, 68, 34)\}$



- ▶ Voorbeeld:  $C_3(n)$  probleem, restrictie tot  $\{1, 2, \dots, 5000\}$
- ▶ Cykels:  $\{(1), (5, 7)\}$



# 1. De Collatz graaf en zijn spectrum

Eigenwaarden en -vectoren van de Collatz-graaf

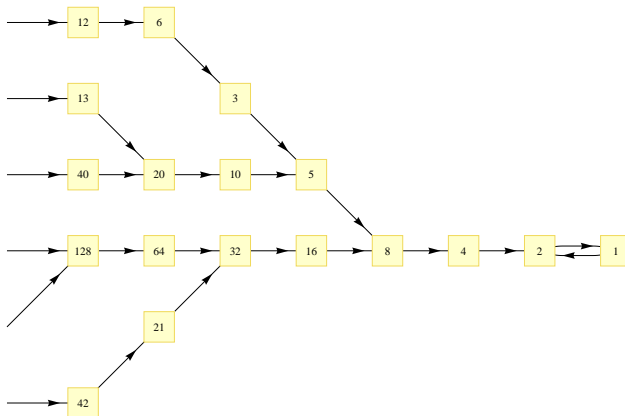


- ▶ Bekijk de verbindingsmatrix  $A$  van de Collatz-graaf  $\mathcal{G}_\infty$

$$A = \begin{pmatrix} . & 1 & . & . & . & . & . & . & \dots \\ 1 & . & . & 1 & . & . & . & . & \dots \\ . & . & . & . & . & 1 & . & . & \dots \\ . & . & . & . & . & . & . & 1 & \dots \\ . & . & 1 & . & . & . & . & . & \ddots \\ . & . & . & . & . & . & . & . & \dots \\ . & . & . & . & . & . & . & . & \dots \\ . & . & . & . & 1 & . & . & . & \dots \\ \vdots & \vdots & \vdots & \vdots & \vdots & \ddots & \vdots & \vdots & \ddots \end{pmatrix}$$

- ▶  $A$  vooruit in de graaf
- ▶  $A\mathbf{e}_i = \mathbf{e}_{T(i)}$
- ▶ Eigenwaarden? Eigenvectoren?

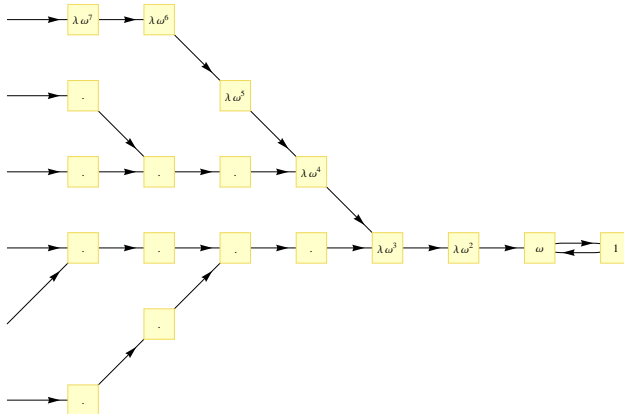
- ▶ Voorbeeld:  $3n + 1$  probleem
- ▶ Component  $G_C$  met cykel  $C = (1, 2)$



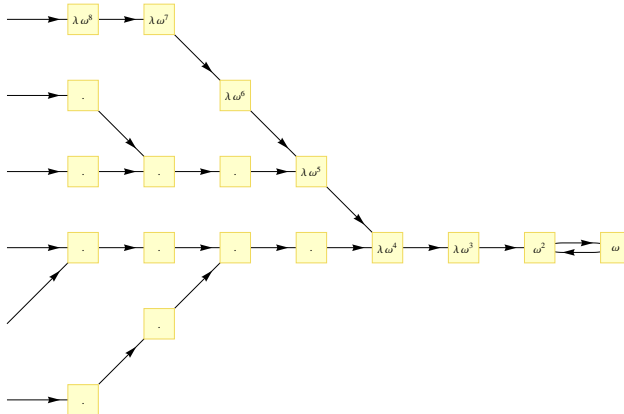
# Matrix A: Eigenwaarden bij cyclen

12/42

- ▶ Kies  $\omega \in \mathbb{C}^*$ ,  $\lambda \in \mathbb{C}$ , en  $I_C \subset G_C$
- ▶ Kies  $\mathbf{v} = \sum_{n \in I_C, n \notin C} \lambda \omega^{\ell(n)} \mathbf{e}_n + \sum_{n \in C} \omega^{\ell(n)} \mathbf{e}_n$

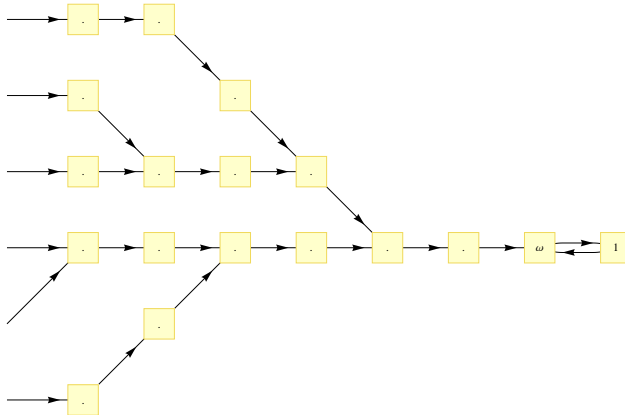


- $\lambda\omega^2 + 1 = \omega^2$  dus  $A\mathbf{v} = \omega\mathbf{v}$  als  $\lambda = 1 - \omega^{-2}$

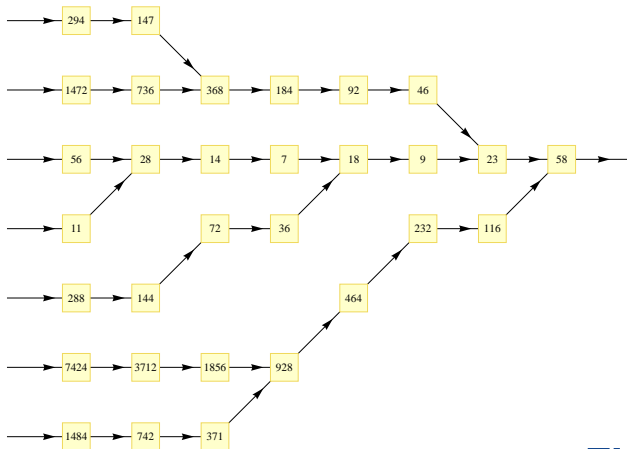




- ▶ Speciaal geval:  $\lambda = 1 - \omega^{-2} = 0$ , dus  $\omega \in \mu_2 = \{\omega \mid \omega^2 = 1\}$
- ▶ Dan  $\mathbf{v} = \sum_{n \in \mathbb{C}} \omega^{\ell(n)} \mathbf{e}_n$  en  $A\mathbf{v} = \omega\mathbf{v}$



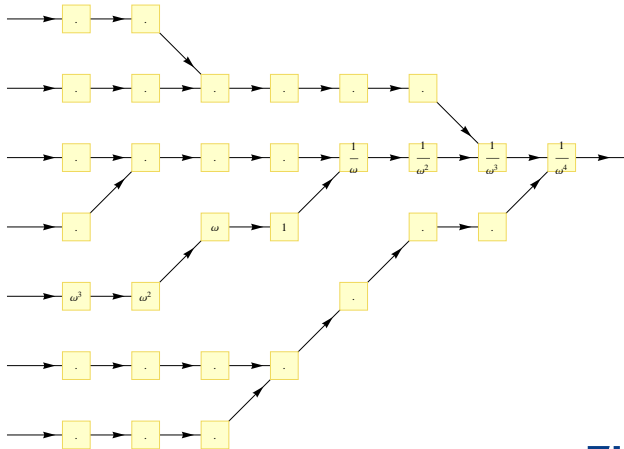
- ▶ Voorbeeld:  $5n + 1$  probleem
- ▶ Component  $G_P$  met pad door 7 waarschijnlijk divergent



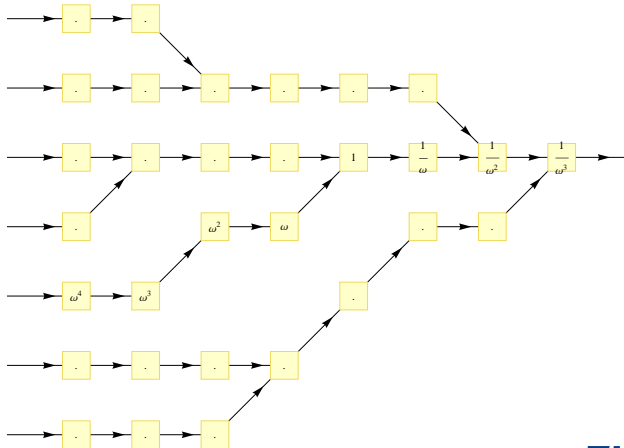
# Matrix A: Eigenwaarden bij divergente paden

16/42

- ▶ Kies  $\omega \in \mathbb{C}^*$  en kies een divergent pad  $l_P \subset G_P$
- ▶ Kies  $\mathbf{v} = \sum_{n \in l_P} \omega^{\ell(n)} \mathbf{e}_n$



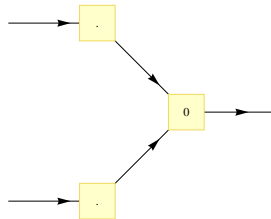
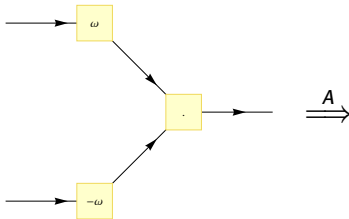
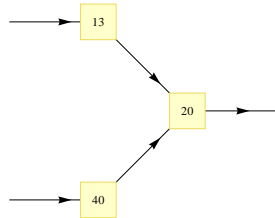
- ▶ Toepassen A: Alles schuift één level naar rechts op
- ▶ Dus  $A\mathbf{v} = \omega\mathbf{v}$



# Matrix A: Eigenwaarde 0

18/42

- ▶ Voorbeeld:  $3n + 1$  probleem
- ▶ Kies  $\omega \in \mathbb{C}^*$  en  $n \in \mathbb{N}_+$  oneven
- ▶ Voorbeeld:  $n = 13$
- ▶ Kies  $\mathbf{v} = \mathbf{e}_n - \mathbf{e}_{3n+1}$
- ▶ Dan  $A\mathbf{v} = \mathbf{e}_{T(n)} - \mathbf{e}_{T(3n+1)} = \mathbf{0}$



- ▶ Algemeen: Cykel  $C$  van lengte  $k$
- ▶ Eigenwaarden bij cyclen met  $\lambda \neq 0$ :
  - Eigenwaarden:  $\omega \in \mathbb{C}^*$  met  $\omega \notin \mu_k$
  - Eigenvectoren:  $\sum_{n \in I_C, n \notin C} \lambda \omega^{\ell(n)} \mathbf{e}_n + \sum_{n \in C} \omega^{\ell(n)} \mathbf{e}_n$
  - Dimensie: 1 per convergent pad  $I_C \subset G_C$ ,  $\infty$  per component  $G_C$
- ▶ Eigenwaarden bij cyclen met  $\lambda = 0$ :
  - Eigenwaarden:  $\omega \in \mathbb{C}^*$  met  $\omega \in \mu_k$
  - Eigenvectoren:  $\sum_{n \in C} \omega^{\ell(n)} \mathbf{e}_n$
  - Dimensie: 1 per component  $G_C$
- ▶ Eigenwaarden bij divergente paden:
  - Eigenwaarden:  $\omega \in \mathbb{C}^*$
  - Eigenvectoren:  $\sum_{n \in I_P} \omega^{\ell(n)} \mathbf{e}_n$
  - Dimensie: 1 per divergent pad  $I_P \subset G_P$ ,  $\infty$  per component  $G_P$
- ▶ Overig: Eigenwaarde 0 met eigenvectoren  $\mathbf{e}_{2n+1} - \mathbf{e}_{6n+4}$
- ▶ Dit zijn ze allemaal!

- ▶  $3n + 1$  vermoeden: Alleen de cykel (1, 2) en geen divergente paden
- ▶ Eigenwaarden bij cykels met  $\lambda \neq 0$ :
  - Voorbeeld: Pad  $(\dots, 24, 12, 6, 3, 5, 8, 4, 2, 1)$
  - Eigenwaarde  $\omega \in \mathbb{C}^*$ ,  $\omega \neq \pm 1$  met eigenvector  $(1, \omega, \omega^5 - \omega^3, \omega^2 - 1, \omega^4 - \omega^2, \omega^6 - \omega^4, 0, \omega^3 - \omega, 0, 0, \dots)$
- ▶ Eigenwaarden bij cykels met  $\lambda = 0$ :
  - Eigenwaarde 1 met eigenvector  $(1, 1, 0, 0, 0, 0, 0, 0, 0, 0, \dots)$
  - Eigenwaarde  $-1$  met eigenvector  $(1, -1, 0, 0, 0, 0, 0, 0, 0, 0, \dots)$
- ▶  $3n + 1$  vermoeden: Eigenruimte bij eigenwaarde 1 is 1-dimensionaal

- ▶ Bekijk de getransponeerde matrix  $A^T$

$$A^T = \begin{pmatrix} \cdot & 1 & \cdot & \cdot & \cdot & \cdot & \cdot & \cdot & \dots \\ 1 & \cdot & \cdot & \cdot & \cdot & \cdot & \cdot & \cdot & \dots \\ \cdot & \cdot & \cdot & \cdot & 1 & \cdot & \cdot & \cdot & \dots \\ \cdot & 1 & \cdot & \cdot & \cdot & \cdot & \cdot & \cdot & \dots \\ \cdot & \cdot & \cdot & \cdot & \cdot & \cdot & \cdot & 1 & \dots \\ \cdot & \cdot & 1 & \cdot & \cdot & \cdot & \cdot & \cdot & \ddots \\ \cdot & \cdot & \cdot & \cdot & \cdot & \cdot & \cdot & \cdot & \dots \\ \cdot & \cdot & \cdot & 1 & \cdot & \cdot & \cdot & \cdot & \dots \\ \vdots & \vdots & \vdots & \vdots & \ddots & \vdots & \vdots & \vdots & \ddots \end{pmatrix}$$

- ▶  $A^T$  achteruit in de graaf
- ▶  $A^T \mathbf{e}_i = \sum_{j \in T^{-1}(i)} \mathbf{e}_j$
- ▶ Eigenwaarden? Eigenvectoren?



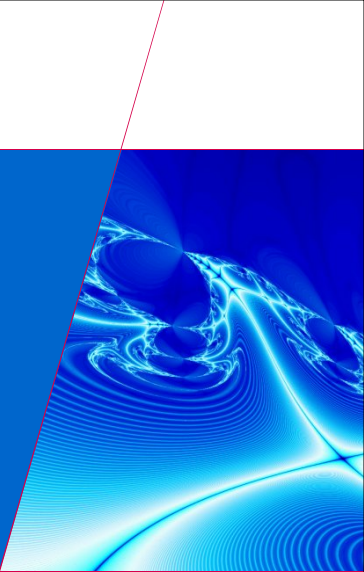
- ▶ Algemeen: Cykel  $C$  van lengte  $k$
- ▶ Eigenwaarden bij cyclen:
  - Eigenwaarden:  $\omega \in \mathbb{C}^*$  met  $\omega \in \mu_k$
  - Eigenvectoren:  $\sum_{n \in G_C} \omega^{-\ell(n)} \mathbf{e}_n$
  - Dimensie: 1 per component  $G_C$
- ▶ Eigenwaarden bij divergente paden:
  - Eigenwaarden:  $\omega \in \mathbb{C}^*$
  - Eigenvectoren:  $\sum_{n \in G_P} \omega^{-\ell(n)} \mathbf{e}_n$
  - Dimensie: 1 per component  $G_P$
- ▶ Merk op: Eigenvectoren horen hier bij componenten i.p.v. paden
- ▶ Dit zijn ze allemaal!

- ▶  $3n + 1$  vermoeden: Alleen de cykel  $(1, 2)$  en geen divergente paden
- ▶ Eigenwaarde bij cyclen:
  - Eigenwaarde 1 met eigenvector  $(1, 1, 1, 1, 1, 1, 1, 1, 1, \dots)$
  - Eigenwaarde  $-1$  met eigenvector  $(1, -1, -1, 1, 1, 1, -1, -1, \dots)$
- ▶  $3n + 1$  vermoeden: Eigenruimte bij eigenwaarde 1 is 1-dimensionaal

- ▶ Ook toepasbaar voor  $pn + q$  problemen, Collatz-achtige functies
- ▶ Toepasbaar voor elke surjectieve functie  $f : \mathbb{N}_+ \rightarrow \mathbb{N}_+$ 
  - Voor  $f(n) = 2n$  zijn er geen eigenwaarden bij  $G_P = \{1, 2, 4, 8, \dots\}$
- ▶ Alle gevallen: Dit zijn ze allemaal!
- ▶ Algemene herformuleringen voor een surjectieve functie  $f$ 
  - Er zijn geen cycli
    - Er zijn geen eigenvectoren bij e.w.  $\omega \neq 0$  bij  $A$  met eindige support
  - Er zijn geen divergente paden
    - Alle eigenwaarden van  $A^T$  zijn eenheidswortels
  - Er zijn  $k$  componenten
    - De eigenruimte van  $A^T$  is  $k$ -dimensionaal
  - De functie  $f$  is injectief
    - Er zijn geen eigenvectoren met eigenwaarde 0 bij  $A$
    - De eigenruimten van  $A$  en  $A^T$  hebben dezelfde dimensie

## 2. Modulaire grafen en De Bruijn grafen

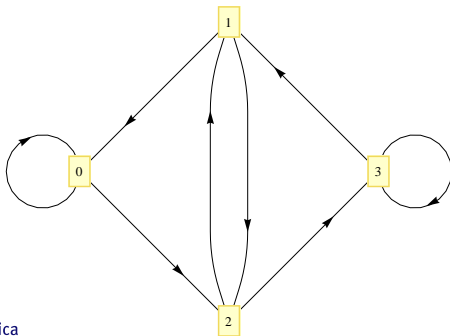
De Collatz-graaf op congruentieklassen



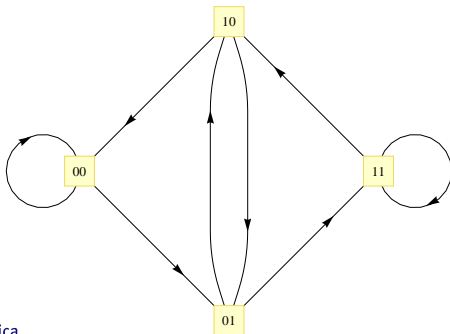
**TU** / **e**

Technische Universiteit  
**Eindhoven**  
University of Technology

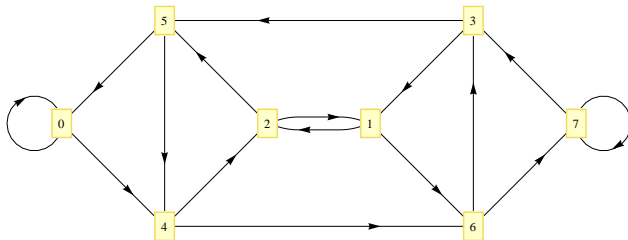
- ▶ Idee: Reduceer oneindig aantal vertices naar eindig aantal vertices
- ▶ Vervang getallen door congruentieklassen modulo  $m = 2^k$
- ▶ Definitie:  $\mathcal{M}_k = (V_k, E_k)$ 
  - $V_k = \{0, 1, \dots, 2^k - 1\}$
  - $E_k = \{(a, b) \mid \text{er zijn } a_1 \in [a]_{2^k}, b_1 \in [b]_{2^k} \text{ met } T(a_1) = b_1\}$
- ▶ Voorbeeld:  $k = 2$ 
  - $\delta^+(0) = \delta^+(1) = \{0, 2\}$
  - $\delta^+(2) = \delta^+(3) = \{1, 3\}$



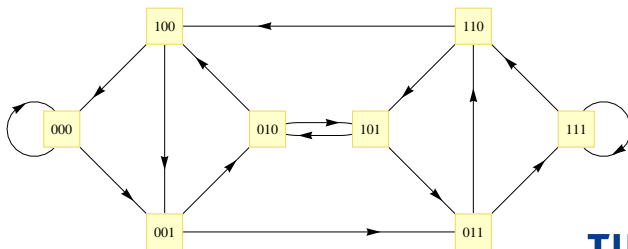
- ▶ (1946, De Bruijn) Artikel "A combinatorial problem"
- ▶ Overlappings van rijen bits van lengte  $k$
- ▶ Definitie:  $\mathcal{B}_k = (V_k, E_k)$ 
  - $V_k = \{0, 1\}^k$
  - $E_k = \{(a, b) \mid a_{i+1} = b_i \text{ voor alle } i = 1, 2, \dots, k-1\}$
- ▶ Voorbeeld:  $k = 2$ 
  - $\delta^+(00) = \delta^+(10) = \{00, 01\}$
  - $\delta^+(01) = \delta^+(11) = \{10, 11\}$



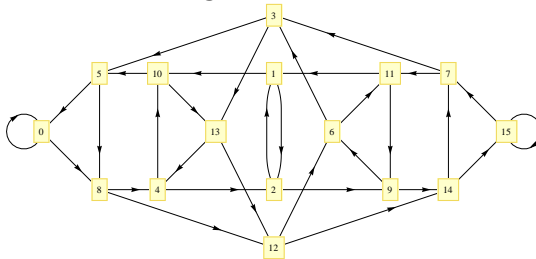
► Binaire Collatz modulaire graaf:  $\mathcal{M}_3$



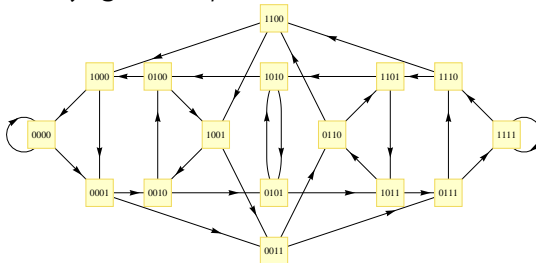
► Binaire De Bruijn graaf:  $\mathcal{B}_3$



- Binaire Collatz modulaire graaf:  $\mathcal{M}_4$



- Binaire De Bruijn graaf:  $\mathcal{B}_4$

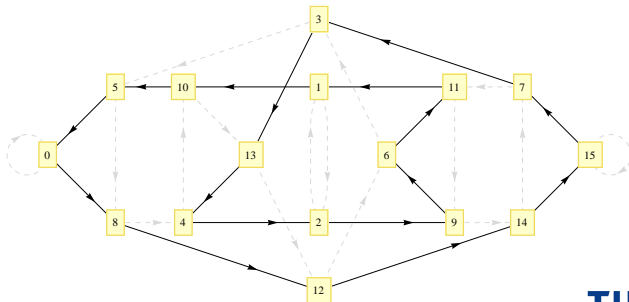




- ▶  $\mathcal{M}_k \cong \mathcal{B}_k$
- ▶  $\mathcal{M}_k \cong \mathcal{M}_k^T$  (de modulaire graaf van  $T^{-1}$ )
- ▶  $L(\mathcal{M}_k) \cong \mathcal{M}_{k+1}$
- ▶  $\mathcal{M}_k$  is een Euler- en Hamiltongraaf
- ▶  $(M_k^k)_{ij} = 1$  (precies 1 pad van  $i$  naar  $j$  van lengte  $k$  in  $\mathcal{M}_k$ )

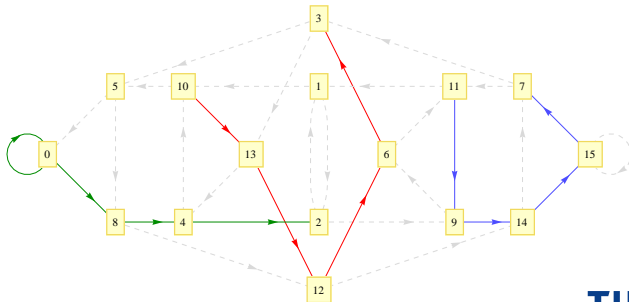
- ▶  $\mathcal{M}_k \cong \mathcal{B}_k$
- ▶  $\mathcal{M}_k \cong \mathcal{M}_k^T$  (de modulaire graaf van  $T^{-1}$ )
- ▶  $L(\mathcal{M}_k) \cong \mathcal{M}_{k+1}$
- +  $\mathcal{M}_k$  is een Euler- en Hamiltongraaf
- ▶  $(M_k^k)_{ij} = 1$  (precies 1 pad van  $i$  naar  $j$  van lengte  $k$  in  $\mathcal{M}_k$ )

Voorbeeld:  $\mathcal{M}_4$ , Hamiltonpad



- ▶  $\mathcal{M}_k \cong \mathcal{B}_k$
- ▶  $\mathcal{M}_k \cong \mathcal{M}_k^T$  (de modulaire graaf van  $T^{-1}$ )
- ▶  $L(\mathcal{M}_k) \cong \mathcal{M}_{k+1}$
- ▶  $\mathcal{M}_k$  is een Euler- en Hamiltongraaf
- +  $(M_k^k)_{ij} = 1$  (precies 1 pad van  $i$  naar  $j$  van lengte  $k$  in  $\mathcal{M}_k$ )

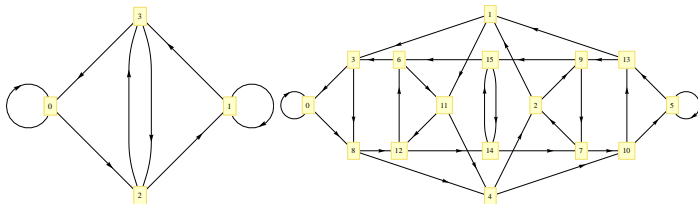
Voorbeeld:  $\mathcal{M}_4$ ,  $(M_4^4)_{0,2} = (M_4^4)_{10,3} = (M_4^4)_{11,7} = 1$



- ▶  $\mathcal{G}_{2^k} \cong \mathcal{D}_k \subset \mathcal{B}_k$ 
  - Helaas:  $\mathcal{D}_k$  ongestructureerd en chaotisch
- ▶  $\mathcal{G}_\infty \cong \mathcal{D}_\infty \subset \mathcal{B}_\infty$ 
  - Aantal cykels in  $\mathcal{B}_\infty \geq$  Aantal cykels in  $\mathcal{G}_\infty$
  - Maximaal aantal cykels van lengte  $\leq k$  is
$$U_k = \frac{1}{k} \sum_{d|k} \mu(d) 2^{k/d} = \# \text{ binaire Lyndon woorden van lengte } \leq k$$
- ▶  $(M_k^k)_{ij} = 1$  dus  $(M_k^{k+\ell})_{ij} = 2^\ell$  voor alle  $0 \leq i, j < 2^k$ 
  - Als  $n \equiv i \pmod{2^k}$  dan  $\mathbb{P}(T^k(n) \equiv j \pmod{2^\ell}) = 2^{-\ell}$  voor alle  $j, \ell$
  - Als je alleen de laatste  $k$  bits van  $n$  weet, dan kan  $T^k(n)$  alles zijn

$$T_{p,q}(n) = \begin{cases} n/2 & \text{als } n \text{ even} \\ (pn + q)/2 & \text{als } n \text{ oneven} \end{cases}$$

- ▶ Voorbeeld:  $5n + 1$  probleem; zelfde eigenschappen



- ▶ Bovengrens op aantal cykels van lengte  $\leq k$  voor  $pn + q$  problemen

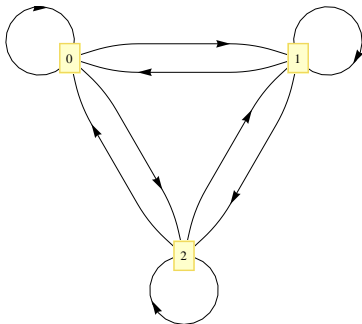
$$U_k = \frac{1}{k} \sum_{d|k} \mu(d) 2^{k/d}$$

- ▶ Maar ook: Er zijn  $pn + q$  problemen met  $U_k$  cykels van lengte  $\leq k$

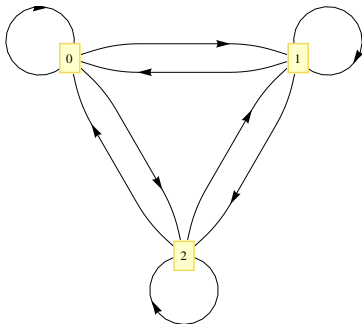
$$C_m(n) = \begin{cases} (a_0n + b_0)/m & n \equiv 0 \pmod{m} \\ (a_1n + b_1)/m & n \equiv 1 \pmod{m} \\ \vdots & \vdots \\ (a_{m-1}n + b_{m-1})/m & n \equiv m-1 \pmod{m} \end{cases}$$

- Generaliseer binaire Collatz modulaire grafen naar  $m$ -aire Collatz modulaire grafen

- ▶ Definitie:  $\mathcal{M}_{m,k} = (V_{m,k}, E_{m,k})$ 
  - $V_{m,k} = \{0, 1, \dots, m^k - 1\}$
  - $E_{m,k} = \{(a, b) \mid \text{er zijn } a_1 \in [a], b_1 \in [b] \text{ met } C_m(a_1) = b_1\}$
- ▶ Voorbeeld:  $C_3(n), k = 1$ 
  - $\delta^+(0) = \delta^+(1) = \delta^+(2) = \{0, 1, 2\}$

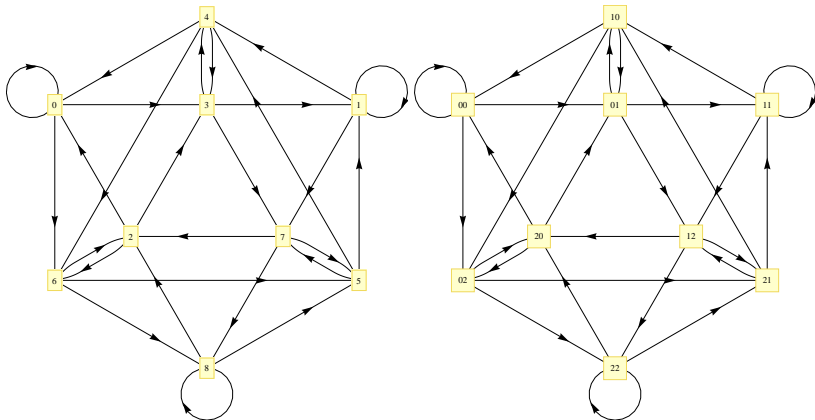


- ▶ Definitie:  $\mathcal{B}_{m,k} = (V_{m,k}, E_{m,k})$ 
  - $V_{m,k} = \{0, 1, 2, \dots, m-1\}^k$
  - $E_{m,k} = \{(a, b) \mid a_{i+1} = b_i \text{ voor alle } i = 1, 2, \dots, k-1\}$
- ▶ Voorbeeld:  $m = 3, k = 1$ 
  - $\delta^+(0) = \delta^+(1) = \delta^+(2) = \{0, 1, 2\}$

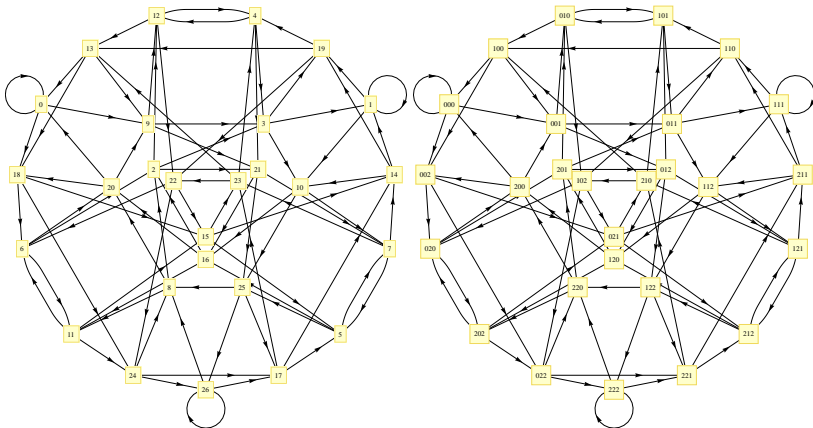




- Ternaire Collatz modulaire graaf  $\mathcal{C}_{3,2}$  en De Bruijn graaf  $\mathcal{B}_{3,2}$



- Ternaire Collatz modulaire graaf  $\mathcal{C}_{3,3}$  en De Bruijn graaf  $\mathcal{B}_{3,3}$



Algemeen: *m*-aire Collatz modulaire grafen isomorf met *m*-aire De Bruijn grafen.

- ▶  $\mathcal{C}_{m,k} \cong \mathcal{B}_{m,k}$
- ▶  $\mathcal{C}_{m,k} \cong (\mathcal{C}_{m,k})^T$
- ▶  $L(\mathcal{C}_{m,k}) \cong \mathcal{C}_{m,k+1}$
- ▶  $\mathcal{C}_{m,k}$  is een Euler- en Hamiltongraaf
- ▶  $(\mathcal{C}_{m,k}^k)_{ij} = 1$

- ▶ 1. De Collatz-graaf en zijn spectrum
  - Compleet overzicht van eigenwaarden/-vectoren van  $A$  en  $A^T$
  - $3n + 1$  vermoeden kunnen herformuleren in termen van dit spectrum
  - Ook toepasbaar op algemene surjectieve afbeeldingen  $f : \mathbb{N}_+ \rightarrow \mathbb{N}_+$
- ▶ 2. Modulaire grafen en De Bruijn grafen
  - Isomorfie tussen binaire modulaire Collatz-grafen en De Bruijn-grafen
  - Aantal interessante consequenties van de Centrale Stelling
  - Ook isomorfie voor  $pn + q$  problemen
  - Isomorfie tussen Collatz-achtige problemen en  $n$ -aire De Bruijn-grafen

# Vragen?



**TU/e**

Technische Universiteit  
**Eindhoven**  
University of Technology

9 juli 2009